

## フローインジェクション分析法によるボイラ水中微量シリカの定量

坪井 知則<sup>1)</sup>・中村 孝洋<sup>1)</sup>・米沢 鴻一<sup>1)</sup>・松倉 亜希子<sup>2)</sup>・本水 昌二<sup>3)</sup>

1)中国電力(株)技術研究センター:〒739東広島市西条町大字御園宇384-12

2)中電環境テクノス(株):〒739東広島市西条町大字御園宇384-12

3)岡山大学理学部化学科:〒700岡山市津島中3-1-1

### Flow Injection Analysis for the Determination of Trace Amounts of Silica in Boiler Water

Tomonori Tsuboi<sup>1)</sup>, Takahiro Nakamura<sup>1)</sup>, Koichi Yonezawa<sup>1)</sup>, Akiko Matsukura<sup>2)</sup>, and Shoji Motomizu<sup>3)</sup>

1)The Chugoku Electric Power Co.,Inc. Technical Research Center,384-12,Misonou,Saijo-cho,  
Higashi-Hiroshima-shi 739

2)Chuden Kankyo Technos Co.,Ltd.,384-12,Misonou,Saijo-cho,Higashi-Hiroshima-shi 739

3)Department of Chemistry, Faculty of Science,Okayama University,3-1-1,Tsushima-naka,Okayama-shi,  
Okayama 700

Flow injection method for the determination of trace amounts of silicon existing as silicate in boiler water was examined spectrophotometrically by using a molybdenum blue coloration reaction. The optimum conditions for the effective formation of molybdenum blue were examined by using a two-line flow system coupled with a sandwich method. The lowest determination range of silicon was  $1\mu\text{g dm}^{-3}$  ( $\equiv 1 \text{ ppb}$ ) of silicon, and a calibration graph was linear over the range from 1 ppb to 100 ppb of silicon. The relative standard deviations for 1 ppb and 20 ppb of silicon were 4.6% and 0.9%, respectively. The method was applied to the determination of silicate in real boiler waters.

### 1 緒 言

ボイラ水中のシリカは高温・高圧の蒸気に溶解して蒸気タービンに運ばれ、タービン翼に析出し、発電出力低下等の重大な原因となることがある、できるだけ低濃度に抑える必要がある。このため微量シリカの定量は、ボイラ水質管理上最も重要な分析項目の一つである。

現在、発電所におけるボイラ水中の微量シリカの定量は、モリブデン青吸光光度法によるバッチ式マニュアル分析<sup>1)</sup>を行っているが、反応時間、反応温度を厳密に制御する必要がある。また分析時間も長く、操作に熟練を要する。一方、FIA法によれば、これらの煩雑な分析操作を自動化でき、さらに分析条件の厳密な設定も容易に行うことが可能で、しかも分析時間の大幅な短縮も図れる。これらのことから、シリカ分析の自動化を図るためFIA法の詳細な検討を行った。

既にシリカのFIA法についてはモリブデン黄、モリブデン青生成反応に基づく吸光光度

法が報告されているが、 $S/N=3$  に相当する検出限界としては Si として  $4\mu\text{g dm}^{-3}$  ( $\equiv 4 \text{ ppb}$ ) が最も高感度なものである。<sup>2)</sup> 李らは火力発電所における水質管理を目的とした FIA 法について検討し、三流路系を用いる Si の定量下限として 9 ppb の FIA 法を報告している。<sup>3)</sup>

火力発電所の現場における自動分析に適用するためには、できるだけ取り扱いの容易な試薬や流路が望まれることから、まず使用する試薬の種類が少ないモリブデン黄法の利用を考え、酸の種類、濃度、反応試薬濃度、反応温度等について検討を進めた。その結果、ボイラ水に適用できる定量下限としては 5 ppb の測定が限界であった。しかし現在のボイラ水質管理分析では、さらに低濃度領域の高感度測定法が必要とされるため、モリブデン黄法で検討した条件に、還元剤を反応コイル出口で混合するモリブデン青法について検討を進めた。その結果、Si として 1 ppb の測定が可能となり、本研究で開発した FIA 法は現場でのボイラ水質管理分析に十分実用可能であることが分かった。

## 2. 実験

### 2.1 装置

本研究で用いたモリブデン青法の流路を Fig. 1 に示す。プランジャーポンプ、16 方バルブおよび反応コイル恒温槽等で構成されたフローインジェクション装置(日立製 K-1000形)を用い、キャリヤー、試薬溶液(還元剤)とともに  $1\text{ml} (\text{l} \equiv \text{dm}^3)/\text{min}$  で送液した。キャリヤー中の試料と反応試薬(モリブデン試薬)の導入には 16 方バルブを用い、反応試薬(試薬ループ、 $200\mu\text{l}$ )の前後を試料(サンプルループ、 $200\mu\text{l} \times 2$ )で挟むサンドイッチ流路を用いた。その後、空気加熱式恒温槽内の反応コイルに導いて、その出口で還元剤と合流させ、アルミニウムブロックバス(小池精密機器製作所製 MB-1L-U)に装着した還元反応コイルを通し、吸光度検出器(日立製 L-4200形 UV-VIS 検出器、フローセル: 光路長  $10\text{mm}$ 、容量  $17.7\mu\text{l}$ 、測定波長  $700\text{nm}$ )に導いた。記録計はクロマトデータ処理装置(日立製 D-2500形)を用いた。サンプルループおよび反応コイル等は内径  $0.5\text{mm}$ 、加圧(背圧)コイルは、内径  $0.25\text{mm}$  のポリテトラフルオロエチレン(PTFE)チューブを用いた。

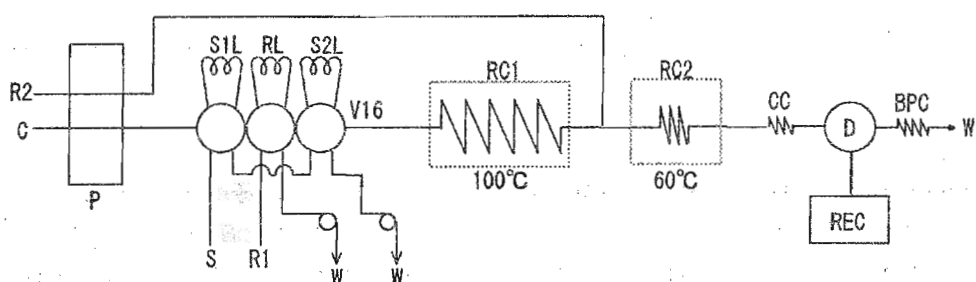


Fig. 1 FIA system for silica determination based on a molybdenum blue method

C:carrier; R1:reagent solution{0.042M Mo(VI)+0.15M HNO<sub>3</sub>};

R2:reducing agent solution(6% ascorbic acid+0.6% oxalic acid);

P:pump( $1\text{ml min}^{-1}$ ); S:sample; S1L,S2L:sample loop( $0.5\text{mm i.d.} \times 1\text{m}, 200\mu\text{l}$ );

RL:reagent loop( $0.5\text{mm i.d.} \times 1\text{m}, 200\mu\text{l}$ ); RC1:reaction coil( $0.5\text{mm i.d.} \times 5\text{m}$ );

RC2:reduction coil( $0.5\text{mm i.d.} \times 1\text{m}$ ); CC:cooling coil( $0.5\text{mm i.d.} \times 1\text{m}$ );

D:detector( $700\text{nm}$ ); REC:recorder; BPC:back-pressure coil( $0.25\text{mm i.d.} \times 1\text{m}$ );

W:waste.

2.2 試薬 キャリヤーおよび試薬溶液の調製には電気脱塩水をミリQ装置(ミリポア)で処理した18.3MΩ·cmの超純水を用いた。

反応試薬溶液(モリブデン試薬)は、モリブデン酸アンモニウム、 $(\text{NH}_4)_6\text{Mo}_7\text{O}_{24} \cdot 4\text{H}_2\text{O}$ と硝酸を含む水溶液を用い、Mo(VI) 0.042M、硝酸 0.15Mが最適であった。還元剤溶液としては、L-アスコルビン酸とシュウ酸を含む水溶液を用い、アスコルビン酸6w/v%、シュウ酸0.6w/v%が良好な結果を与えた。

Si標準液には、原子吸光用標準液(関東化学、1000mg dm<sup>-3</sup> Si)を正確に希釀して用いた。なお、試薬は、すべて関東化学製特級を用いた。

### 3. 結果および考察

#### 3.1 反応試薬(モリブデン試薬)溶液の検討

既に報告されているシリカのFIA法のほとんどは、キャリヤーと、反応試薬流れを合流させ、混合反応させる方式であるが、本研究では流路の単純化のために、サンドイッチ混合反応方式を採用した。従って、新たに反応試薬組成等について最適化を行う必要がある。

既報<sup>2)</sup>では反応試薬中の酸性度調整に硫酸を用いている。本研究では、試薬プランク値の低下を主目的として、硫酸と硝酸の比較を行った。その結果、試薬溶液の酸を硫酸から硝酸へ変更することにより試薬プランク値が低下し、感度も向上した。また硝酸濃度を0.05M～討した結果、濃度による試薬プランク値への影響はほとんど見られなかつ。以後の実験には、0.15M硝酸を用いることとした。なお、硫酸よりも硝酸の試薬プランク値が低いのは、一般に硝酸の方が高純度のものが製造しやすいことられる。

ン酸アンモニウム濃度については、Mo(VI) 0.014M～0.056Mの範囲で検討した。モリブデン濃度に比例して感度も向上するが、試薬プランク値も増大した。感度/ランク値を考慮して、0.042Mを用いることとした。なお、本研究で用いることとリブデン濃度は二流路系を用いる既報<sup>2)</sup>よりも若干低い濃度で約3分の2となって(既報: 0.06M Mo+0.075M H<sub>2</sub>SO<sub>4</sub>)。

#### 2 還元剤溶液の検討

モリブデン黄をモリブデン青に還元する還元剤としてアスコルビン酸を用いた。アスコルビン酸濃度4～10w/v%の範囲で検討したところ濃度の増加とともに、試薬プランク値も徐々に増加したが、感度は6～8w/v%の場合が他の濃度に比べて良好な結果を与えた(Fig. 2)。アスコルビン酸が高濃度になると、試薬プランク値は大きくなるが、シリカのピークは減少傾向を示した。従って、本研究では6w/v%を用いることとした。

#### 3.3 還元用反応コイル長及び反応温度の影響

還元用反応コイル1～5mの範囲で検討した。長さを増すとともに、プランク値は増大するが、逆にシリカの感度は低下した。これは、反応コイルが長くなるにつれて、反応速度の遅いモリブデン酸の還元反応が進行することによると考えられる。

還元反応温度についても検討した。コイル恒温槽の温度を30~60°Cで検討した。温度上昇に伴い試薬プランク値、シリカの感度ともに増大した(Fig. 3)。本研究では、シリカの感度を考慮し、検討した最高温度の60°Cを採用することとした。

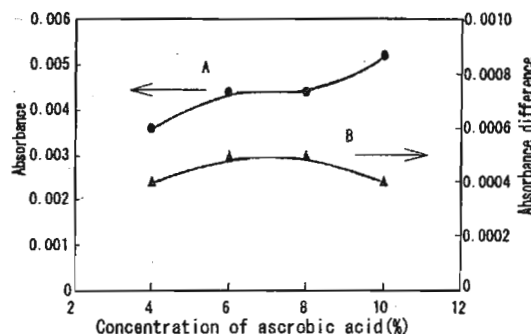


Fig.2 Effect of concentrations of ascorbic acid on the reduction of molybdosilicate

A:reagent blank; B:Si 10ppb.

A:absorbances corresponding to peak height.

B:absorbance differences(Ref:reagent blank).

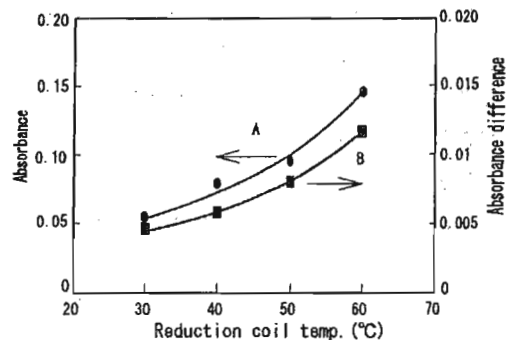


Fig.3 Effect of temperature on the reduction of molybdosilicate

A:reagent blank; B:Si 100ppb.

Absorbances and their differences are the same as in Fig.2.

### 3.4 還元剤溶液の混合点

還元剤溶液を混合する場所について検討した。ヘテロポリ酸生成用反応コイル(RC1)の入口から、RC1の入口に変更した結果、試薬プランク値は増大するが、逆に減少した。これは、高温ではモリブデン酸自身が、還元されてモリブデン酸の反応性が低下するためと考えられる。従って、還元剤溶液はモリブデン酸生成後、すなわちRC1後で加えることとした。

### 3.5 還元剤溶液へのシウ酸の添加の影響

ボイラ水の場合、試料にリン酸イオンをほとんど含んで妨害は考慮する必要はないと考え、シウ酸の添加は省略し、イッヂ流路を用いているため比較的大きい試薬プランクのピーク、コルビン酸にシウ酸を混合し、試薬プランクの低減を計った。そのみの場合と比べプランク値を約1/10に減少させることができた。程度はほとんど変化しなかった(Fig. 4)。このため、シウ酸添加により、試薬プランクの低下を計ることとし、還元剤溶液中のシウ酸の範囲で検討を行った。その結果、0.4w/v%以上でプランク値、シリカの感度がほとんど変化しないことが分かった(Fig. 5)。本研究では、0.6w/v%を用いることとした。

### 3.6 還元剤溶液の安定性

15日間にわたり、還元剤溶液の有効性について検討した。少なくともこの期間では、シリカの吸光度にほとんど変化は認められず、かなり長期間使用に耐えることが分かった。これは、シウ酸の主な役割はモリブデンのマスキング作用であるが、さらに還元剤としての作用も効いて、還元剤溶液の長期間使用が可能になったものと考えられる。

以上の検討結果に基づき、還元剤溶液としては、6w/v%アスコルビン酸と0.6w/v%シュウ酸を含む溶液を用いることとした。

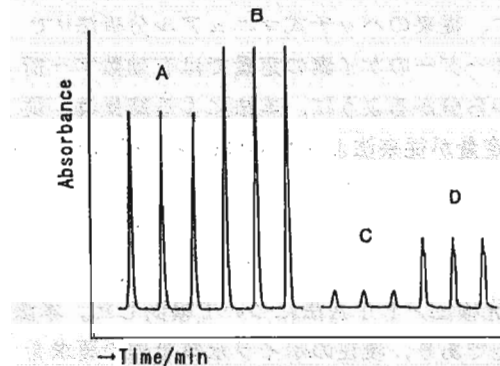


Fig. 4 Effect of oxalic acid on peak height  
A and C: reagent blank;  
B and D: Si 100 ppb.  
A and B: without oxalic acid;  
C and D: 0.6w/v% oxalic acid.

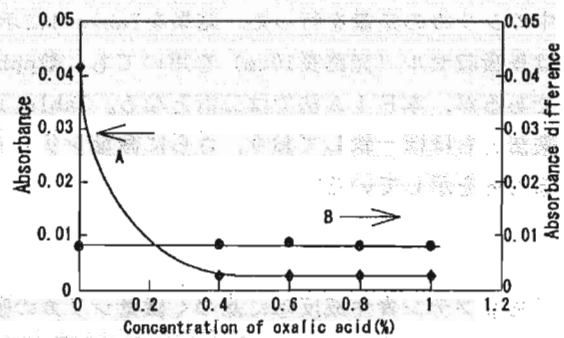


Fig. 5 Effect of concentrations of oxalic acid  
A: reagent blank; B: Si 100 ppb.

### 3.7 検量線、定量範囲及び再現性

以上の検討結果を下に、Fig. 1のフローシステムを用いて検量線を作成した。フローシングナル例をFig. 6に示す。検量線は、Si 1~100 ppbの範囲で良好な直線性を示した。また相対標準偏差は、1 ppbの試料のピーク高で4.6%，20 ppbで0.9%と非常に精度の良い定量法であることが分かった。

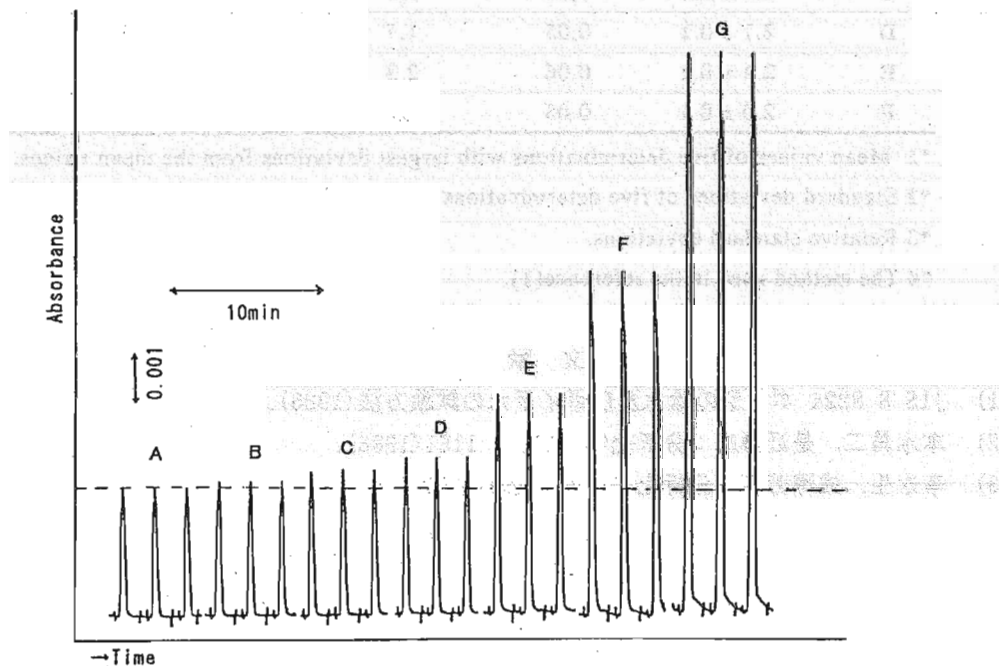


Fig. 6 Examples of flow signals for silica determination  
Si(ppb): A, 0(blank); B, 1; C, 3; D, 5; E, 20; F, 50; G, 100

### 3.8 実際試料への応用

本法と従来から用いられているバッチ式マニュアル分析法とを用いて、実際のボイラーワー中のシリカの定量を行った。結果をTable 1に示す。従来のバッチ式マニュアル分析法<sup>1)</sup>では長吸収セル（光路長10cm）を用いても、数ppbオーダーのケイ素の定量では有効数字一桁であるが、本FIA法では二桁となる。Table 1から分かるように、本法による結果は、従来法ともほぼ一致しており、さらに微量シリカの定量が従来法よりも再現性良く行われていることを示している。

モリブデン青生成反応に基づく微量シリカの吸光検出/FIA法について検討した。本法は、ボイラ水中の1 ppb以上のケイ素の定量が可能であり、現在のボイラ水質管理の要求を充分満足するものである。さらに定量操作性、分析時間の短縮等実用的にも大きな利点がある。

Table 1 Analytical results for silicon existing as silicate in real boiler water samples

Sample	This method			Other method <sup>*4</sup>
	Si, ppb <sup>*1</sup>	SD, ppb <sup>*2</sup>	RSD, % <sup>*3</sup>	
A	1.8 ± 0.1	0.06	3.1	1
B	2.3 ± 0.1	0.06	2.3	2
C	1.4 ± 0.1	0.08	5.9	2
D	2.7 ± 0.1	0.05	1.7	3
E	2.4 ± 0.1	0.06	2.3	1
F	2.0 ± 0.1	0.05	2.2	1

\*1 Mean values of five determinations with largest deviations from the mean values.

\*2 Standard deviations of five determinations.

\*3 Relative standard deviations.

\*4 The method used in the reference(1).

### 文 献

- 1) JIS B 8224 ボイラの給水及びボイラ水の試験方法(1986).
- 2) 本水昌二, 是近勝彦: 分析化学, 37, T 1151(1988).
- 3) 李永生, 成澤芳男: 分析化学, 41, 463(1992).

(Received April 11, 1995)

(Accepted April 20, 1995)